

§ 3.2 磁标势

对于稳恒电流所产生的磁场，可以通过求解矢势来求解磁场，而不直接采用毕奥-萨伐耳定律。但一般情况下，求解矢势的边值问题仍相对复杂。

我们提出这样一个问题，能否也可以把磁场写成 $\vec{B} = -\nabla\phi$ 的形式？或者说，能否把求解磁场转化成求解一个标量场的问题？很显然，安培定律 $\nabla \times \vec{B} = \mu_0 \vec{J}$ 告诉我们，一般情况下是不容许这种的描述。

我们接下来分析，在某些特定的问题仍可以采用磁标势来描述磁场。在这样的特定情况下，关于静磁场的边值问题求解就变得与静电场像类似。

本节内容：

- 磁场的磁标势描述。
- 磁标势所满足的微分方程
- 磁标势的边值关系

1、磁场的磁标势描述

关于一般磁场的麦克斯韦方程（微分及积分形式）：

$$\nabla \times \vec{H} = \vec{J}_f + \frac{\partial \vec{D}}{\partial t},$$

$$\oint_L \vec{H} \cdot d\vec{l} = \int_S \vec{J}_f \cdot d\vec{S} + \frac{d}{dt} \int_S \vec{D} \cdot d\vec{S}$$

对于静磁场，有两个重要的关系式：

$$\nabla \times \vec{H} = \vec{J}_f,$$

$$\oint_L \vec{H} \cdot d\vec{l} = \int_S \vec{J}_f \cdot d\vec{S}$$

假设我们所讨论的区域内没有传导的电流，则在区域内的每一点有：

$$\nabla \times \vec{H} = 0$$

这一特点类似与我们上一章讨论的静电场的特点，即区域内的场的无旋性。

现在提出这样一个问题：如果所讨论的区域没有传导的电流，那么是否就一定可以采用类似电势的磁势来描述区域内的静磁场？答案是否。为什么？

原因是 $\nabla \times \vec{H} = 0$ 只给出了区域内磁场强度特性之一。要求解区域内的磁场，除了满足上述微分方程外，还要满足边值关系，例如还需要保证在求解区域内：

$$\oint_L \vec{H} \cdot d\vec{l} = \int_S \vec{J}_f \cdot d\vec{S} = 0。$$

我们具体分析这样一个例子：

除了载流线圈所处的位置，

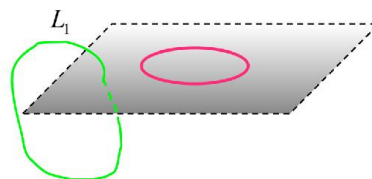


空间任意一点的磁场强度满足

$\nabla \times \vec{H} = 0$ 。现在的问题是：除了载流线圈所在位置，磁场强度是否都可以表示 $\vec{H} = -\nabla \phi_m$ 的形式？

对于不链含线圈的积分回路 L_1 ：

$$\begin{aligned} \oint_{L_1} \vec{H} \cdot d\vec{l} &= \int_S (\nabla \times \vec{H}) \cdot d\vec{S} \\ &= -\int_S (\nabla \times \nabla \phi_m) \cdot d\vec{S} \equiv 0 \end{aligned}$$



由于积分回路所包围的面内无电流穿过，因此由麦克斯韦方程得：

$$\oint_L \vec{H} \cdot d\vec{l} = \int_S \vec{J}_f \cdot d\vec{S}$$

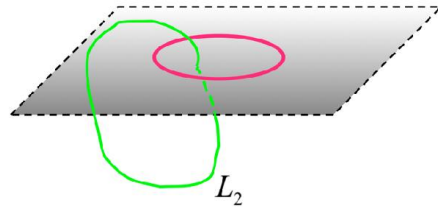
$$\oint_L \vec{H} \cdot d\vec{l} = 0$$

可以看到，对于路径 L_1 ，采用磁标势方式给出的结果与麦克斯韦方程的结果相一致。

然而，对于某链含了线圈的积分回路 L_2 ，假设回路 L_2 上的每一点的磁势都有定义，则：

$$\oint_{L_1} \vec{H} \cdot d\vec{l} = \int_S (\nabla \times \vec{H}) \cdot d\vec{S}$$

$$= -\int_S (\nabla \times \nabla \phi_m) \cdot d\vec{S} \equiv 0$$



但由于存在电流穿过积分回路所包围的面，由麦克斯韦方程得：

$$\oint_L \vec{H} \cdot d\vec{l} = \int_S \vec{J}_f \cdot d\vec{S} \neq 0$$

可以看出，基于磁标势给出的结果与麦克斯韦方程给出的结果相矛盾。

有了这个分析，我们可以做这样一个推论：对于上面的例子，如果所求解问题的边界不包括以载流线圈为边的一个曲面，即所考察的区域是单连通的，则无电流体分布的情况下在该区域内，可以引入磁标势来描述磁场强度

$$\nabla \times \vec{H} = 0$$

$$\vec{H} = -\nabla\phi_m.$$

当然，对于另一种情况，即如果所求解的全空间没有传导电流，则在整个空间存在 $\nabla \times \vec{H} = 0$ ，因此总可以引入磁标势来描述磁场 $\vec{H} = -\nabla\phi_m$ 。还需要说明的是，在我们的教材中是把磁场强度写成磁标势的梯度的负值，而不是磁感应强度。所以磁感应强度可以表示为

$$\vec{B} = -\mu_0 \nabla\phi_m$$

在静磁场的边值问题中，采用磁标势处理的条件是：

- 所讨论的空间为单连通区域，并且区域内无传导电流；
- 或者全空间无传导电流，则在全空间都可以定义磁标势。

有兴趣同学请参考：《经典电动力学》，著者：曹昌祺，复旦大学出版社。

2、磁标势所满足的微分方程

1) 回顾一下静电场的电势所满足的微分方程：

一般的形式：

$$\nabla^2\phi = -\frac{\rho_f + \rho_p}{\epsilon_0}$$

对于均匀、各向同性、线性介质，

$$\nabla^2 \phi(\vec{x}) = -\frac{\rho_f(\vec{x})}{\epsilon}$$

对于各向同性的线性介质，如果内部没有自由电荷，则静电势满足拉普拉斯方程

$$\nabla^2 \phi = 0$$

2) 磁标势所满足的微分方程

根据一般定义式： $\vec{B} = \mu_0(\vec{H} + \vec{M})$

以及麦克斯韦方程之一： $\nabla \cdot \vec{B} = 0$

得：

$$\nabla \cdot \vec{H} = -\nabla \cdot \vec{M}$$

定义：

$$\rho_m = -\mu_0 \nabla \cdot \vec{M}$$

此处 ρ_m 称为磁荷密度。由于在接下来给出的公式中 ρ_m 与极化电荷密度 ρ_p 的地位相当而得名。则：

$$\nabla \cdot \vec{H} = \frac{\rho_m}{\mu_0}$$

即得到：

$$\nabla^2 \phi_m = -\frac{\rho_m}{\mu_0} \quad \text{—— (2.16)}$$

3) 比较静电场与静磁场：

静电场	静磁场（假设是无自由电流 $\vec{J}_f = 0$ 的单连通区域）
-----	-----------------------------------------

$\nabla \times \vec{E} = 0$	$\nabla \times \vec{H} = 0$
$\rho_p = -\nabla \cdot \vec{P}$	$\rho_m = -\mu_0 \nabla \cdot \vec{M}$ (general)
$\nabla \cdot \vec{E} = (\rho_p + \rho_f) / \epsilon_0$	$\nabla \cdot \vec{H} = \rho_m / \mu_0, \vec{B} = -\mu_0 \nabla \phi_m$
$\vec{D} = \epsilon_0 \vec{E} + \vec{P}$	$\vec{B} = \mu_0 (\vec{H} + \vec{M})$ (general)
$\vec{E} = -\nabla \phi$	$\vec{H} = -\nabla \phi_m$
$\nabla^2 \phi = 0$ ($\rho_f = 0$)	$\nabla^2 \phi_m = -\rho_m / \mu_0$ ($\vec{j}_f = 0$)

3、磁标势的边值关系

1) 磁标势的边值关系之一

我们知道，磁感应强度和磁场强度的边值关系为

$$\vec{n}_{21} \times (\vec{H}_2 - \vec{H}_1) = \vec{\alpha}_f$$

$$\vec{n}_{21} \cdot (\vec{B}_2 - \vec{B}_1) = 0$$

假设：区域边界没有自由电流，则此边界条件为

$$\vec{n}_{21} \times (\vec{H}_2 - \vec{H}_1) = 0$$

或者

$$H_{1t} = H_{2t}$$

仿照教材关于静电势的边界条件的讨论，如果区域边界没有自由电流（比如永磁体），则得：

$$\phi_1 = \phi_2 \quad \text{——边界条件之一}$$

结论：当所讨论的区域边界没有自由电流时，磁标势在分界面的两侧连续。对于超导体表面存在的超导电流，我们把它视为磁化电流，所以对于超导

体，同样可以采用这样的边界条件。

2) 磁标势的边值关系之二

磁感应强度的法向分量之边值关系：

$$B_{1n} = B_{2n}$$

$$\vec{B} = \mu_0(\vec{H} + \vec{M})$$

得 \vec{H} 与 \vec{M} 之和沿法向连续，

$$\vec{n} \cdot (\vec{H}_1 + \vec{M}_1) = \vec{n} \cdot (\vec{H}_2 + \vec{M}_2)$$

$$\text{或者 } \frac{\partial \phi_1}{\partial n} - \frac{\partial \phi_2}{\partial n} = \vec{n} \cdot (\vec{M}_1 - \vec{M}_2)$$

——边界条件之二

若是非铁磁介质，则有 $\vec{B} = \mu\vec{H}$ 。因此，对由非铁磁介质构成的分界面，有

$$\mu_1 \frac{\partial \phi_1}{\partial n} = \mu_2 \frac{\partial \phi_2}{\partial n}$$

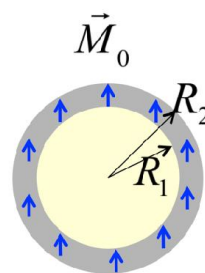
——边界条件之二

总结：引入磁标势和磁标势的方便之处在于：

- 可以借用静电学中的一些处理问题的方法；
- 在处理永久磁铁（无自由电流）、超导体（超导电流看成是磁化电流）所激发的磁场时，采用这种方法非常方便。

例题：均匀磁化永磁介质球壳，内、外半径为 R_1 、 R_2 ，磁化强度为 M_0 。证明空腔内的磁场为 0。

解：这个问题是全空间问题，并且在全空间都不存在自由电流分布，因此在全空间都可以引入磁标势来描述磁场强度。



➤ 球壳内外磁标势都满足拉普拉斯方程：

$$\nabla^2 \phi_{in} = 0$$

$$\nabla^2 \phi_{out} = 0$$

➤ 球壳本身，由于是均匀磁化， $\rho_m = -\mu_0 \nabla \cdot \vec{M} = 0$ 。

因此，球壳层内的磁势同样满足拉普拉斯方程：

$$\nabla^2 \phi_{shell} = 0$$

在球坐标系中，三个区域电势的通解形式分别为：

$$\phi_{out} = \sum_{n=0}^{\infty} \left(a_n r^n + \frac{b_n}{r^{n+1}} \right) P_n(\cos \theta)$$

$$\phi_{shell} = \sum_{n=0}^{\infty} \left(c_n r^n + \frac{d_n}{r^{n+1}} \right) P_n(\cos \theta)$$

$$\phi_{in} = \sum_{n=0}^{\infty} \left(f_n r^n + \frac{g_n}{r^{n+1}} \right) P_n(\cos \theta)$$

其中 a_n 、 b_n 、 c_n 、 d_n 、 f_n 、 g_n 是待定的系数。

考虑边界条件：在无穷远处 $\phi_{out}|_{r=\infty} = 0$ ；在球心处，磁势有限值 $\phi_{in}|_{r=0} = finite$ ，则：

$$\phi_{out} = \sum_{n=0}^{\infty} \frac{b_n}{r^{n+1}} P_n(\cos \theta)$$

$$\phi_{shell} = \sum_{n=0}^{\infty} \left(c_n r^n + \frac{d_n}{r^{n+1}} \right) P_n(\cos\theta)$$

$$\phi_{in} = \sum_{n=0}^{\infty} f_n r^n P_n(\cos\theta)$$

利用磁标势的边值关系之一：

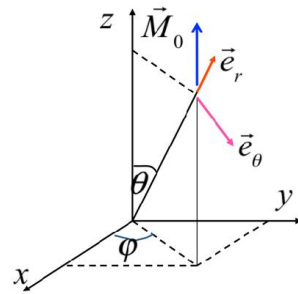
$$\phi_1 = \phi_2$$

$$\left(\frac{\partial \phi}{\partial n} \right)_1 - \left(\frac{\partial \phi}{\partial n} \right)_2 = \vec{n} \cdot (\vec{M}_1 - \vec{M}_2)$$

在球坐标系中，球壳层中的磁化强度

M_0 矢量可以分解成：

$$\vec{M} = M_0 (\cos\theta \vec{e}_r - \sin\theta \vec{e}_\theta)$$



对于球壳内表面，得到

$$\sum_{n=0}^{\infty} \left(c_n R_1^n + \frac{d_n}{R_1^{n+1}} \right) P_n(\cos\theta) = \sum_{n=0}^{\infty} f_n R_1^n P_n(\cos\theta)$$

或者：

$$c_n R_1^n + \frac{d_n}{R_1^{n+1}} = f_n R_1^n, (n \geq 0)$$

由 $\left. \frac{\partial \phi_{in}}{\partial r} \right|_{r=R_1} - \left. \frac{\partial \phi_{shell}}{\partial r} \right|_{r=R_1} = -M_0 \cos\theta$ ，得到

$$\begin{aligned} & \sum_{n=0}^{\infty} n f_n R_1^{n-1} P_n(\cos\theta) - \sum_{n=0}^{\infty} \left(n c_n R_1^{n-1} - (n+1) \frac{d_n}{R_1^{n+2}} \right) P_n(\cos\theta) \\ & = -M_0 \cos\theta \end{aligned}$$

比较系数得：

$$d_0 = 0$$

$$f_1 - \left(c_1 - \frac{2d_1}{R_1^3} \right) = -M_0$$

$$nf_n R_1^{n-1} = nc_n R_1^{n-1} - (n+1) \frac{d_n}{R_1^{n+2}}, (n \geq 2)$$

对于球壳外表面:

由 $\phi_{out}|_{r=R_2} = \phi_{shell}|_{r=R_2}$, 得到

$$\sum_{n=0}^{\infty} \frac{b_n}{R_2^{n+1}} P_n(\cos \theta) = \sum_{n=0}^{\infty} \left(c_n R_2^n + \frac{d_n}{R_2^{n+1}} \right) P_n(\cos \theta)$$

$$\text{得: } \frac{b_n}{R_2^{n+1}} = c_n R_2^n + \frac{d_n}{R_2^{n+1}}, (n \geq 0)$$

由 $\frac{\partial \phi_{out}}{\partial r} \Big|_{r=R_2} - \frac{\partial \phi_{shell}}{\partial r} \Big|_{r=R_2} = -M_0 \cos \theta$, 得到

$$\sum_{n=0}^{\infty} -(n+1) \frac{b_n}{R_2^{n+2}} P_n(\cos \theta) - \sum_{n=0}^{\infty} \left(nc_n R_2^{n-1} - (n+1) \frac{d_n}{R_2^{n+2}} \right) P_n(\cos \theta) = -M_0 \cos \theta$$

比较系数得: $-\frac{b_0}{R_2^2} + \frac{d_0}{R_2^2} = 0$

$$-\frac{2b_1}{R_2^3} - \left(c_1 - \frac{2d_1}{R_2^3} \right) = -M_0$$

$$(n+1) \frac{b_n}{R_2^{n+2}} + nc_n R_2^{n-1} - (n+1) \frac{d_n}{R_2^{n+2}} = 0, (n \geq 2)$$

联立方程组求解:

$$d_0 = 0,$$

$$-\frac{b_0}{R_2^2} + \frac{d_0}{R_2^2} = 0$$

$$f_1 - \left(c_1 - \frac{2d_1}{R_1^3} \right) = -M_0 n f_n R_1^{n-1} = n c_n R_1^{n-1} - (n+1) \frac{d_n}{R_1^{n+2}}, (n \geq 2)$$

$$-\frac{2b_1}{R_2^3} - \left(c_1 - \frac{2d_1}{R_2^3} \right) = -M_0$$

$$(n+1) \frac{b_n}{R_2^{n+2}} + n c_n R_2^{n-1} - (n+1) \frac{d_n}{R_2^{n+2}} = 0, (n \geq 2)$$

$$\frac{b_n}{R_2^{n+1}} = c_n R_2^n + \frac{d_n}{R_2^{n+1}}, (n \geq 0)$$

$$c_n R_1^n + \frac{d_n}{R_1^{n+1}} = f_n R_1^n, (n \geq 0)$$

解得：

$$d_0 = 0, \quad -\frac{b_0}{R_2^2} + \frac{d_0}{R_2^2} = 0 \quad \frac{b_0}{R_2} = c_0 + \frac{d_0}{R_2}, \quad c_0 + \frac{d_0}{R_1} = f_0$$

这是关于 c_0, b_0, d_0, f_0 的方程组。

$$f_1 - \left(c_1 - \frac{2d_1}{R_1^3} \right) = -M_0$$

$$-\frac{2b_1}{R_2^3} - \left(c_1 - \frac{2d_1}{R_2^3} \right) = -M_0$$

$$\frac{b_1}{R_2^2} = c_1 R_2 + \frac{d_1}{R_2^2}, \quad c_1 R_1 + \frac{d_1}{R_1^2} = f_1 R_1$$

这是关于 c_1, b_1, d_1, f_1 的方程组。

$$n f_n R_1^{n-1} = n c_n R_1^{n-1} - (n+1) \frac{d_n}{R_1^{n+2}}, (n \geq 2)$$

$$(n+1) \frac{b_n}{R_2^{n+2}} + n c_n R_2^{n-1} - (n+1) \frac{d_n}{R_2^{n+2}} = 0, (n \geq 2)$$

$$\frac{b_n}{R_2^{n+1}} = c_n R_2^n + \frac{d_n}{R_2^{n+1}}, (n \geq 2)$$

$$c_n R_1^n + \frac{d_n}{R_1^{n+1}} = f_n R_1^n, (n \geq 2)$$

这是关于 c_n, b_n, d_n, f_n 的方程组 ($n \geq 2$)。

联立方程组，整个空间的磁势分布为

$$\phi_{in} = 0, \quad (r < R_1)$$

$$\phi_{shell} = \frac{M_0}{3} \left(r - \frac{R_1^3}{r^2} \right) \cos \theta, \quad (R_1 < r < R_2)$$

$$\phi_{out} = \frac{M_0}{3} (R_2^3 - R_1^3) \frac{\cos \theta}{r^2} = \frac{1}{4\pi} \frac{\vec{m} \cdot \vec{r}}{r^3}, \quad (r > R_2)$$

$$\text{球壳的磁矩: } \vec{m} = \frac{4\pi}{3} (R_2^3 - R_1^3) \vec{M}_0$$

球壳内的磁场:

$$\vec{H} = -\nabla \phi_m,$$

$$\vec{H}_{in} = 0,$$

$$\vec{B}_{in} = \mu_0 \vec{H}_{in} = 0$$